

# ANALISIS KETAHANAN PRODUK SOLAR CELL BERBANTUAN SOFTWARE LOGGER PRO

Hamzah<sup>1)</sup>, Moh. Toifur<sup>1)</sup>

<sup>1)</sup>Program Studi Magister Pendidikan Fisika, Universitas Ahmad Dahlan, Yogyakarta, Jawa Tengah, Indonesia

Corresponding author: Hamzah  
E-mail: hamzahpfis@gmail.com

**Diterima 01 November 2019, Disetujui 23 November 2019**

## ABSTRAK

Penelitian ini bertujuan untuk menentukan kualitas solar cell pada nilai fill factor ( $f_f$ ) dan efisiensinya ( $\eta$ ). Data tegangan  $V_i$  dan  $I_i$  diambil secara otomatis menggunakan software logger pro dan menggunakan analisis persamaan eksponensial  $y = Ae^{-Cx} + B$ . Data diambil dari solar cell merk polikristal type (99×69) mm<sup>2</sup> yang dipaparkan di depan sumber cahaya lampu bohlam philips 100W/220V sejauh 18 cm pada  $I_r$  sebesar 983, 344 W/m<sup>2</sup>. Nilai  $P_{max}$  terbesar besar berada pada sudut kemiringan 30° sebesar 0,0231 watt.  $f_f$  yaitu 67%, efisiensi 22%. Pada sudut 30° tersebut arah cahaya datang tegak lurus dengan bidang solar cell. Sedangkan  $f_f$  terendah kemiringan 70° yaitu 0,5362 dan efisiensi 13%.

**Kata kunci:** Fill factor dan efisiensi solar cell; logger pro.

## ABSTRACT

This study aims to determine the quality of solar cell on the value of the fill factor ( $f_f$ ) and efficiency ( $\eta$ ). The voltage data  $V_i$  and  $I_i$  are taken automatically using logger pro software and using exponential equation analysis. The data was taken from polycrystalline solar cell type (99×69) mm<sup>2</sup> which was presented in front of the light source of Philips lamp bulb 100W/220V as far as 18 cm at  $I_r$  of 983, 344 W/m<sup>2</sup>. The largest  $P_{max}$  value is at a slope angle of 30° of 0,0231 watts.  $f_f$  is 67%, efficiency is 22%. At the 30° angle the direction of the light comes perpendicular to the plane of the solar cell. While the lowest  $f_f$  is 70°, which is 0,5362 and efficiency is 13%.

**Keywords:** Fill factor and efficiency solar cell; logger pro.

## PENDAHULUAN

Panel surya (solar cell) adalah perangkat yang mengubah energi matahari menjadi energi listrik[1-3]. Solar cell ketika pada saat siang/tengah hari yang cerah radiasi matahari mampu mencapai 1000 W/m<sup>2</sup>, 25 °C[4-6]. Pada modul sel surya komersial memiliki efisiensi berkisar antara 10% hingga 30% tergantung material penyusunnya [7-10]. Solar cell tergantung pada *fill factor* dan efisiensi konversi energi dan konsentrasi sinar matahari yang diterima oleh panel surya [11-13].

Besaran yang relevan untuk menentukan kualitas solar cell adalah *fill factor* dan efisiensi sel surya. *Fill factor* menentukan parameter penyimpanan yaitu kemampuan kerja sel surya yang dinyatakan dalam persen dengan perbandingan daya maksimum ( $P_{max}$ ) yang dihasilkan sel surya terhadap daya teoritis ( $P_{th}$ ).

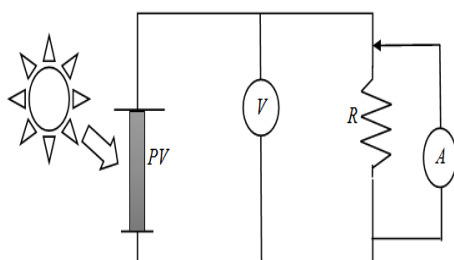
Sedangkan efisiensi ( $\eta$ ) menentukan persentase *output* listrik dari sel surya untuk suatu energi yang datang dalam bentuk penyinaran matahari. Efisiensi ini merupakan parameter yang menggambarkan konversi energi dari solar cell.

Untuk mengukur ketahanan atau kualitas produk solar cell menggunakan software logger pro dengan menghubungkan sensor tegangan dan arus pada *transducer labquest* ditampilkan kelayakan komputer dengan bantuan software Logger pro. Logger pro ini merupakan produk teknologi mempermudah dalam eksperimen yang mensimulasikan karakteristik arus dan tegangan ( $I-V$ ) pada percobaan foto voltaik sebagai fungsi tegangan *open circuit* ( $V_{oc}$ ) dan arus *short circuit* ( $I_{sc}$ ). Pengambilan data tegangan-arus dilakukan secara otomatis menggunakan sensor tegangan dan sensor arus loggerpro.

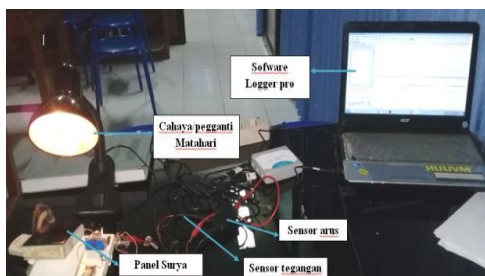
## METODE PENELITIAN

### Prosedur eksperimen

Penelitian ini menggunakan metode eksperimen di Lab. *Sensor and Transducer Laboratory* Magister Pendidikan Fisika Universitas Ahmad Dahlan dengan bantuan komputasi dengan peralatan dan bahan yaitu: Panel surya baterangan 5 volt, lampu sebagai pengganti sinar matahari, kabel penghubung, lux meter untuk mengukur intensitas cahaya, Media/papan sudut kemiringan, busur derajat, komputer, potensiometer, *software logger pro, labquestmini*, sensor tegangan dan sensor arus. Skema alat eksperimen pada gambar 2.



Gambar 1. Skemarangkaian akuisisi data V-/



Gambar 2. Prosedur eksperimen

Selanjutnya untuk pengambilan data tegangan-arus *solar cell* digunakan sensor tegangan dan arus pada *logger pro*. Selanjutnya membuka layar *software logger pro*, untuk menampilkan data hasil pembacaan pada sensor. Kemudian mengatur *time logger pro*, data *collection duration* 30 seconds and *sampling rate* 0.2 seconds/sample untuk satu kali pengambilan data. Selanjutnya menghubungkan sensor arus dan tegangan pada *labquestmini*, kemudian menghubungkan sensor arus positif pada kabel positif *solar cell* dan sensor tegangan dihubungkan dengan kaki 2 potensiometer. Sedangkan sensor arus negatif dan sensor tegangan positif dihubungkan ke kaki 1 potensiometer. Selanjutnya

menghidupkan lampubola philips 100W/220V sebagai sumber cahaya dihubungkan pada sumber tegangan PLN. Potensiometer diputar untuk memperoleh nilai sekumpulan data ( $V_i, I_i$ ).

### Metode analisi data

Nilai  $V_{oc}$ ,  $I_{sc}$ ,  $V_{max}$  dan  $I_{max}$  diperoleh dari kurva  $V$ -hasil fitting data ( $V_i, I_i$ ) menurut fungsi *natural exponential*,

$$y = A \exp^{-Cx} + B \quad (7)$$

dengan,  $x=I$ ,  $y=V$  dan  $A$ ,  $C$ ,  $B$  merupakan koefesien *fitting* dari persamaan (7). Nilai  $I_{sc}$  diperoleh dari titik potong kurva terhadap sumbu  $x$  dan  $V_{oc}$  diperoleh dari titik potong kurva terhadap sumbu  $y$ . Dengan memasukkan  $x=0$  pada (7) untuk  $I_{sc}$  dan  $y = 0$  untuk  $V_{oc}$  maka diperoleh:

$$I_{sc} = A + B \quad (8)$$

Sedangkan persamaan  $V_{oc}$

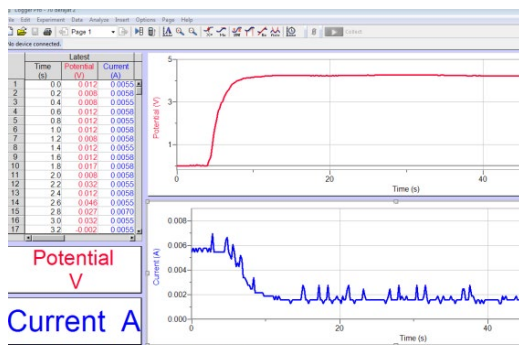
$$V_{op} = -\frac{1}{C} \ln\left(\frac{B}{A}\right) \quad (9)$$

Dengan mengalikan persamaan (8) dan persamaan (9) maka diperoleh nilai daya teoritisnya seperti dinyatakan pada persamaan (1). Daya maksimum diperoleh dari perkalian tegangan ( $x_i$ ) dan arus ( $y_i$ ) kemudiandi ambil dari nilai yang paling besar. Sedangkan untuk menentukan intensitas cahaya lampu diperoleh dari persamaan (3) dengan  $A$  luas modul *solar cell*. Adapun penentuan  $f_f$  *solar cell* diperoleh dari persamaan (5) yaitu perbandingan daya maksimum dan daya teoritis. Nilai  $f_f$  dinyatakan dalam persen dan  $\eta$  konversi diperoleh dari persamaan (6).

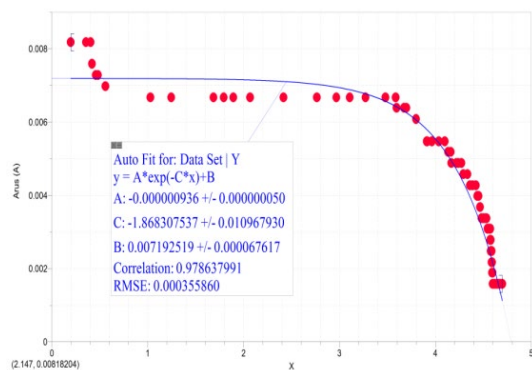
## HASIL DAN PEMBAHASAN

Telah dilakukan analisis ketahanan *solar cell* menggunakan *software logger pro*. Pada gambar 3 ditampilkan hasil pengukuran nilai tegangan dan arus *logger pro* pada saat sebesar 983, 344 W/m<sup>2</sup>. Kemudia dilakukan fitting data menurut fungsi eksponensial seperti pada gambar 3

Demikian pula nilai  $P_{max}$  pada gambar 5 diperoleh dari nilai  $I$  dan  $V$  pada gambar 6.

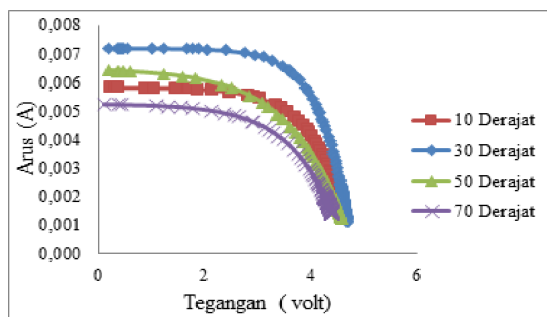


Gambar 3. Grafik  $V$ - $I$  pada software logger pro

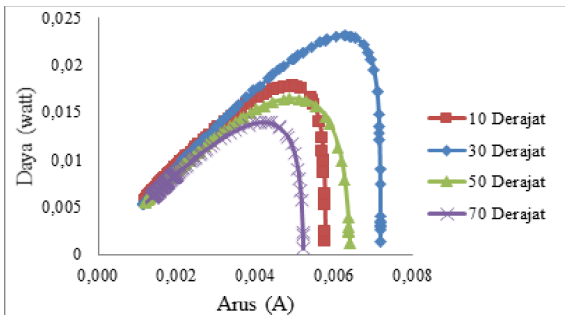


Gambar 4. Salah satu kurva fitting  $V$ - $I$  pada software logger pro pada kemiringan panel 30°

Selanjutnya ditampilkan nilai tegangan terhadap arus pada gambar 4 dengan bantuan analisis menggunakan Microsoft Office Excel. Tampak bahwa nilai tersebut tidak sampai memotong sumbu  $x$  (tegangan) dan sumbu  $y$  (arus). Untuk itu, dilakukan fitting data untuk dapat diekstrapolasikan data menuju ke titik potong sumbu  $x$  dan  $y$ . Sehingga diperoleh  $I_{sc}$  dan  $V_{oc}$ .



Gambar 5. Grafik hubungan tegangan terhadap arus



Gambar 6. Grafik hubungan daya terhadap arus

Ternyata, nilai  $P_{max}$  terbesar besar berada pada sudut kemiringan 30° sebesar 0,02313 watt. Dikarenakan  $P_{max}$  terbesar ketika bidang panel sejajar dengan arah sinar cahaya. Pada variasi penggerak manual untuk modul solar cell nilai  $f$  terbesar berada pada sudut 30° yaitu 67%, efisiensi 22%. Sedangkan terendah 70° yaitu 0,53626, efisiensi 13%.

Tabel 1. Nilai fitting,  $P_{th}$ ,  $P_{max}$ ,  $f_f$  dan  $\eta$

No	Sudut	Fungsi eksponensial	$P_{th}$ (watt)	$P_{max}$ (watt)	$f_f$	$\eta$
1	10°	$y = -3.27(10^{-6}) \exp^{(-1.548x)} + 5.78(10^{-3})$	0,0279	0,0177	0,6341	17%
2	30°	$y = -9.36(10^{-7}) \exp^{(-1.868x)} + 7.19(10^{-3})$	0,0344	0,0232	0,6717	22%
3	50°	$y = -5.56(10^{-5}) \exp^{(-0.994x)} + 6.46(10^{-3})$	0,0306	0,0164	0,5362	16%
4	70°	$y = -1.72(10^{-5}) \exp^{(-1.227x)} + 5.23(10^{-3})$	0,0243	0,0140	0,5765	13%

## SIMPULAN

1. Penggunaan software logger pro sangat baik dan teliti dalam pengukuran untuk menentukan kelayakan produk solar cell.
2. Produk solar cell 5 volt masih layak digunakan dalam kebutuhan kelistrikan pada kapasitas maksimal 5 volt dan telah diuji fill factor ( $f_f$ ) terbesar 67% dan efisiensi ( $\eta$ ) 22%.

## DAFTAR RUJUKAN

- Aliev R., Alinazarova, M.A., Ikranov, R.G., and Ismanova O.T. (2011). The Fill Factor Of Loaded Current-Voltage Performance Of Solar Cells And Its Role For Determining Their Temperature Properties. *Applied Solar Energy*. 7(2).118-120.  
 Bhalchandra, V. and Sadawarte, Y.A. (2015). "The Factors Affecting The Performance Of Solar Cell", *International Journal of Computer Applications* (0975 – 8887):

- M-Tech Student B.D.C.O.E. Sewagram Wardha-India
- Chegaar, M., Z. Ouennoughi, F. Guechi, dan Langueur. (2003). Determination of Solar Cells Parameters under Illuminated Conditions, *Journal of Electron Devices*. 2. 17-21.
- Das, A. K. (2011). An Explicit J-V Model Of Solar Cell For Simple Fill Factor Calculation, *Solar Cell Energy*. 85(9). 1906–1909
- Erlita. (2014). Energi Supply Solar cell pada Sistem Pengendali Portal Parkir Otomatis Berbasis mikrokontroler AT89S52, <https://scholar.google.com> /diakses pada tanggal 3 April 2019
- Gastineau, J. (1999). Logger pro™ User's manual. ISBN 0-918731-91-7 (Macintosh)
- Guliani R., Jain A., and Kapoor A. (2012). Exact analytical analysis of Dye-Sensitized Solar Cell: Improved Method and Comparative Study, *There newble energy Journal*. 2(2). 549-60
- Hamdy, M. Adel. (1994). A New Model For The Current-Voltage Output Characteristics Of Photovoltaic Modules. *Journal of Power Sources*. 50(1). 11-20.
- Maammeur, H. Hamidat, A and Loukarfi, L. (2013). A Numerical Resolution Of The Current-Voltage Equation for a Real Photovoltaic Cell, Energi Procedia 36, Fakulti Of Technology, *Universitas Hassiba Benbouali*, pages 1212-122
- Rashmi, S. (2012). Solar Cell, *Internasional Journal Of Scientificand Research Publications*, 2(7). 2250-31536666
- Sukandarrumidi. (2016). *Energi Terbarukan*.Yogyaakarta: Universitas Gajah Mada
- Toifur, M., (2013). Perbaikan Penentuan Nilai Fill Factor Sel Surya Dengan Bantuan Fitting Data Dan Teknik Modified Regulafalse”, *Prosiding Seminar Nasional Penelitian, Pendidikan dan Penerapan MIPA*. UN
- Yogyakarta: Fakultas MIPA, Universitas Negeri Yogyakarta
- Yulinar, A., Khairul, S., dan Assaidah, (2017). Measurement of Solar Panel Output Involving Controller and Reflector. *Internasional Journal Energy and Clean Environment*. 15(1). 138-142.